

# بررسی پارامتریک رفتار یک تیر همبند فولادی پیشنهادی در سازه‌های با دیوار برشی همبسته تحت بارگذاری چرخه‌یی

ابوالفضل عرب‌زاده\* (دانشیار)

احسان عمرانیان (دانشجوی کارشناسی ارشد)

دانشکده‌ی مهندسی عمران و محیط زیست، دانشگاه تربیت مدرس

دیوارهای برشی همبسته با تیرهای همبند فولادی، مقاومت و سختی پیشتری نسبت به سیستم‌های همبندی پیشنهاد شده است. با توجه به اهمیت تیرهای همبند در پاسخ لرزه‌یی این سازه‌ها، ارزیابی رفتار چرخه‌یی آنها ضروری است. در این نوشتار، به منظور ارتقای عملکرد سازه‌یی دیوارهای همبسته، یک تیر همبند فولادی جدید با استفاده از ساخت‌کننده‌ی قطري به جای ساخت‌کننده‌ی قائم پیشنهاد شده است. پس از صحبت‌ستجی مدل اجزاء محدود، مطالعه‌ی پارامتریک بر روی حدود ۳۰ مدل با درنظرگرفتن دو پارامتر نسبت عمق به ضخامت جان و زاویه‌ی سخت‌کننده انجام شده است. نتایج نشان می‌دهند که استفاده از ساخت‌کننده‌ی قطري در تیرهای همبند، ظرفیت برشی، سختی و جذب انرژی سیستم را در مقایسه با ساخت‌کننده‌ی قائم افزایش می‌دهد، که نتیجه‌ی آن رسیدن به مقطع ارتفاع کمتر و کاهش مشکلات مربوط به محدودیت ارتفاعی در سیستم‌های همبسته خواهد بود. همچنین برای دستیابی به بهترین عملکرد سیستم، استفاده از زاویه‌ی ۳۰ درجه توصیه می‌شود.

**واژگان کلیدی:** تیر همبند فولادی، دیوار برشی، ساخت‌کننده‌ی قطري، بارگذاري چرخه‌یی، پاسخ لرزه‌یی.

## ۱. مقدمه

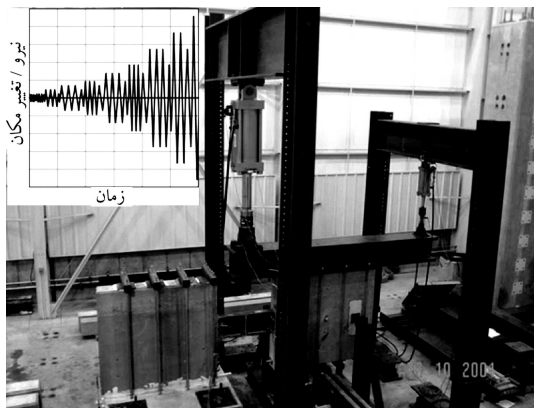
برشی و همچنین ظرفیت اتلاف انرژی، المان‌های سازه‌یی ضروری در یک طرح لرزه‌یی هستند. بنابراین، مشخصه‌های هیستوزیس تیرهای همبند اساساً در پاسخ کلی یک سیستم دیوار همبسته اثر می‌گذارند.<sup>[۱]</sup> ظرفیت برشی محدود و نیز مکانیزم شکست از نوع کشش قطري و لغزش برشی در تیرهای همبند بتن مسلح با آرماتورگذاري معمولی و همچنین افزایش هزینه و مشکلات اجرایي در جین ساخت و نیز رسیدن به طرح‌های غیرعملی برای تیرهای با آرماتورگذاري قطري، استفاده از تیرهای پیش‌نی از زلزله را در این‌گونه سازه‌ها با مشکل مواجه کرده است.<sup>[۲,۳,۴]</sup> تیرهای فولادی بهمنزله‌ی جایگزینی مناسب برای تیرهای سیستم متصفح (دیوارهای بتنی متصل شده به سیستمهای تیرهای همبند فولادی) سیستم دیوار همبسته‌ی مرکب<sup>۱</sup> خوانده می‌شود. جذب انرژی بالا، سختی و نیز مقاومت پیشتر نسبت به تیرهای پیش‌نی منجر به یک پاسخ چرخه‌یی پایدار برای تیرهای همبند فولادی شده است.<sup>[۵,۶]</sup>

سیستم‌های دارای تیر همبند با رفتار خمشی حاکم نسبت به سیستم‌های با تیر همبند با رفتار برشی غالب نیاز به فولاد پیشتری در المان مرزی دارند، چون سهم پیشتری از لنگر واگونی توسط دیوار حمل می‌شود. از طرف دیگر، برای تیرهای

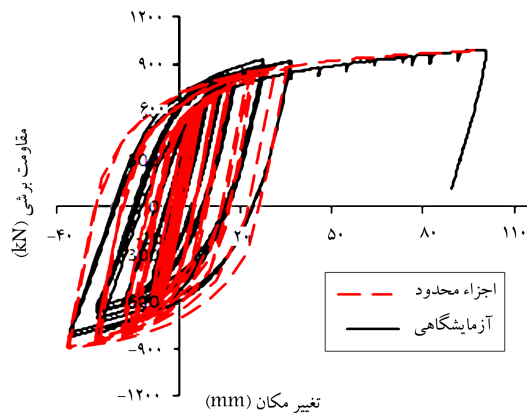
سازه‌های دارای دیوار برشی همبسته، که از اتصال دو دیوار برشی جدا شده باشد<sup>۷</sup> به کمک تیرهای همبند پدید می‌آیند، سیستم‌های باربر جانبه مؤثری هستند که در صورت قرارگیری بازشوهای دیوار به طور منظم در ارتفاع ساختمان و طراحی مناسب این تیرهای رابط، سختی و مقاومت جانبه زیادی خواهند داشت. نیروی محوری کششی و فشاری ایجاد شده در دیوارها ناشی از سختی تیرهای همبند با تشکیل کوبالی موجب تحمل بخش زیادی از لنگر واگونی کل نسبت به حالت وجود دیوارهای تنها (بدون اتصال)، که انرژی ناشی از زلزله را فقط از طریق تغییرشکل‌های خمشی تلف می‌کنند، می‌شود. در نتیجه سیستم مقاوم و سخت‌تری به دست می‌آید.<sup>[۱]</sup> این نیروهای محوری از طریق برش ایجاد شده در تیر همبند منتقل می‌شوند. در سیستم‌های با دیوار برشی همبسته برای رسیدن به رفتار مطلوب باید تیرهای همبند به اندازه‌ی کافی سخت و قوی باشند و قبل از دیوارهای اطراف تسییم شوند تا شکل پذیر رفتار کنند و خصوصیات جذب انرژی قابل توجهی نشان دهند.<sup>[۲]</sup> این تیرها به علم توانایی زیاد در کاهش قابل ملاحظه‌ی لنگر خمشی در دیوارهای

\* نویسنده مسئول

تاریخ: دریافت ۱۸/۱/۱۳۹۱، اصلاحیه ۴/۱۳۹۱، پذیرش ۱۲/۱/۱۳۹۱.



شکل ۱. شمایی از آزمایش صحبت‌سنگی شده در این پژوهش.<sup>[۹]</sup>



شکل ۲. مقایسه‌ی پاسخ آزمایشگاهی و اجزای محدود.

خردش‌گی فشاری. همچنین این مدل برای بارگذاری دلخواه حتی بارگذاری چرخه‌یی مناسب است و کاهش سختی کشسان با درنظرگرفتن کرنش خمیری هم در کشش و هم در نشار توجیه می‌شود.<sup>[۱۲]</sup>

میلگرد‌ها با المان‌های خرپایی<sup>۳</sup> مدل می‌شوند که فقط دارای درجات آزادی انتقالی در امتداد محور عضو هستند. برای مدل‌سازی تیر فولادی از المان‌های پوسته‌یی<sup>۴</sup> مرتبه‌ی اول استفاده شده است. فولادها با استفاده از مدل خمیری با سخت‌شوندگی کینماتیک و به صورت غیرخطی که در Abaqus در دسترس است، مدل می‌شوند. در این پژوهش برای تعريف میلگرد داخل بتن و نیز جذب از تیر همیند که داخل دیوار برشی قرار می‌گیرد، از قید المان مدفعون<sup>۵</sup> در Abaqus استفاده شده است. از این روش جهت جاسازی یک المان یا گروهی از آنها در المان‌های میزبان<sup>۶</sup> استفاده می‌شود.

در شکل ۲، نتایج حاصل از تحلیل مدل اجزاء محدود و مدل آزمایشگاهی در قالب منحنی نیروی برشی - تغییرمکان انتهای تیر مقایسه شده است. همان‌طور که مشاهده می‌شود، تطابق خوبی بین دو مدل، هم از نظر مقاومت و هم سختی، وجود دارد و لذا می‌توان به نتایج حاصل از تحلیل‌های عددی به کمک مدل اجزاء محدود ایجاد شده در این نوشتار اطمینان کرد. مقدار ظرفیت برشی محاسباتی (از روابط آئین نامه) برابر با  $578\text{kN}$  بوده است. در حالی که بیشینه‌ی پرش اندازه‌گیری شده در آزمایش برابر با  $994\text{kN}$  و در مدل اجزاء محدود  $989\text{kN}$  بوده است. همچنین مقدار سختی در آزمایش  $83\text{kN/mm}$  و در مدل اجزاء محدود  $89\text{kN/mm}$  به دست آمده است.

همیند طولانی‌تر (که رفتار خمی حاکم است) ارضای ضوابط نیاز اغلب با مقاطع نوردشده ممکن است؛ اما برای تیرهای با رفتار برشی غالب، مقاطع تیر ورق نیاز می‌شود.<sup>[۷]</sup> با توجه به عملکرد بهتر تیرهای با رفتار برشی، در این تحقیق رفتار این‌گونه تیرها مورد ارزیابی قرار گرفته است. عملکرد تیرهای همیند شباخت زیادی به تیرهای پیوند در قاب EBF دارد. طراحی تیرهای همیند بر پایه‌ی مجموعه‌ی از تحقیقات گذشته قرار دارد.<sup>[۸]</sup> فلسفه‌ی طراحی تیرهای همیند این است که بال‌های تیر کشسان باقی بمانند و جان تیر در بررس تسلیم شود. لذا در تعیین ابعاد بال از اثر جان در محاسبه‌ی مقاومت خمی صرف نظر می‌شود. در نهایت، یک نسبت عمق به ضخامت مناسب برای بال و جان تعیین شود تا زکمانش موضعی بال یا جان جلوگیری شود.<sup>[۸]</sup> مشابه آنچه که در مورد تیرهای پیوند در قاب‌های مهاربندی وجود دارد. سرانجام مقدار طول مدفعون تیر داخل دیوار با توجه به روابط موجود تعیین می‌شود.

تلاش پژوهشگران در این سال‌ها دستیابی به یک تیر همیند با ویژگی‌های مقاومت،

سختی و شکل‌پذیری بالاتر نسبت به نمونه‌های مشابه بوده است. از جمله تیرهای

همیند فولادی که تاکنون پیشنهاد و استفاده شده است عبارت‌اند از: تیرهای همیند فولادی معمولی،<sup>[۹]</sup> کامپوزیت،<sup>[۷]</sup> تیر با ورق برشی جان،<sup>[۱۰]</sup> تیر با مقطع فیوز،<sup>[۱۱]</sup> تیرهای همیند با میلگرددهای پیش‌تینده و...<sup>[۱۲]</sup>

آخر پژوهشی (۲۰۱۰)<sup>[۱۳]</sup> به طور آزمایشگاهی و تحلیلی رفتار قاب‌های مهاربندی برون محور را، که در آنها از تیر پیوند با سخت‌کننده‌ی قطری استفاده شده است، بررسی کردند و با مقایسه‌ی آن با تیرهای پیوند متuarف مطابق با ضوابط AISC که از سخت‌کننده‌ی قائم استفاده می‌کند، عملکرد بهتر سیستم را از نظر ظرفیت برشی،

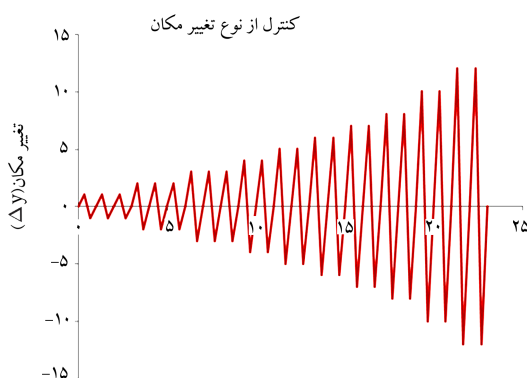
سختی، و شکل‌پذیری نسبت به تیر با سخت‌کننده‌ی قائم نتیجه گرفتند.<sup>[۱۴]</sup>

سخت‌کننده‌ی قطری تاکنون در تیرهای همیند فولادی به کار نرفته است. در این نوشتار، استفاده از این نوع سخت‌کننده در جان تیرهای همیند فولادی با هدف افزایش ظرفیت برشی، سختی کلی سیستم و نیز جذب ازیزی با تعداد سخت‌کننده‌ی کمتر، نسبت به تیرهای همیند مرسوم با سخت‌کننده‌ی استاندارد (قائم) مورد ارزیابی قرار گرفته است. ابتدا برای اعتباربخشی به مدل‌سازی، مدل اجزاء محدود یک نمونه‌ی آزمایشگاهی تیر همیند فولادی با سخت‌کننده‌ی استاندارد ایجاد و با نتایج مختلف زاویه‌ی سخت‌کننده‌ی قطری، عمق و ضخامت جان تیر انجام می‌شود تا بهترین وضعیت هندسی برای سخت‌کننده‌ی قطری به دست آید و در نهایت مراحل گام به گام طراحی تیر همیند فولادی با سخت‌کننده‌ی قطری ارائه شده است.

## ۲. صحبت‌سنگی مدل اجزاء محدود در نرم‌افزار Abaqus

نمونه‌ی آزمایشگاهی انتخاب شده برای صحبت‌سنگی مدل اجزاء محدود مربوط به آزمایشی است که در سال ۲۰۰۴ انجام شده است و متشکل از دو پایه‌ی دیوار است که با یک تیر همیند فولادی به یکدیگر متصل می‌شوند (شکل ۱). ابتدا یک تاریخچه‌ی بارگذاری با کترل نیرو و سپس بارگذاری به صورت تغییرمکانی اعمال می‌شود. در این آزمایش بارگذاری چرخه‌ی تا ۴٪ زاویه‌ی دوران اعمال و پس از آن نیروی برشی به صورت یکنواخت اضافه شد.<sup>[۱۵]</sup>

در این نوشتار، برای مدل‌سازی مصالح بتن دیوار برشی از مدل بتن آسیب‌دیده‌ی خمیری<sup>۷</sup> استفاده شده است. این مدل از مفهوم آسیب‌دیدگی ایزوتروپیک در محدوده‌ی خطی در ترکیب با کشش ایزوتروپیک و فشار خمیری، جهت نمایش رفتار غیرخطی بتن استفاده و دو مکانیزم اصلی برای شکست فرض می‌کند: ترک خودگرگی کششی و



شکل ۴. تاریخچه‌ی بارگذاری تغییرمکانی مطابق ATC-۲۴.

تمام فولادهای در نظرگرفته شده در این پژوهش از نوع ST<sup>۳۷</sup> با تنش تسلیم حدود ۲۴۰ MPa و تنش نهایی ۳۶۰ MPa و مدول کشسانی تقریباً برابر با ۲۰۰۰۰ MPa هستند. آرماتورها از نوع AII با تنش تسلیم حدود ۳۰۰ MPa و تنش نهایی ۴۴۰ MPa و مدول کشسانی ۱۸۶۰۰ MPa است. همچنین در تمام مدل‌های این پژوهش از بتن با مقاومت فشاری ۳۰ MPa استفاده شده است،

طراحی دیوارها به روش آرماتورگذاری یکنواخت انجام شده است.

با تحلیل سازه مشخص شد که لنگر و برش طراحی در تیرهای همبند در طبقه‌ی ۵ام بیشترین مقدار را دارد. لذا تیرهای همبند در این موقعیت با عنوان مدل تحت بررسی انتخاب شد.

برای انجام بارگذاری چرخه‌ی از دستورالعمل ATC-۲۴ استفاده شد. براساس این راهنمای ابتدا چرخه‌های بارگذاری نیروی برحسب نیروی برشی تسلیم قاب در دو گام و سپس تاریخچه‌ی بارگذاری برحسب کنترل تغییرمکان (برحسب تغییرمکان تسلیم) اعمال می‌شود.<sup>[۱۲]</sup> در شکل ۴، بارگذاری اعمال شده نشان داده شده است.

در فصل ششم ATC-۲۴ پارامترهای مفیدی برای ارزیابی عملکرد سازه‌ها معرفی شده است. در این پژوهش از ۳ معیار ارائه شده در این راهنمای برای مقایسه و به طورکلی ارزیابی عملکرد نمونه‌های تحلیل شده (خصوصاً مدل‌های دارای سخت‌کننده‌ی قطری) استفاده شده است. این ۳ معیار عبارت‌اند از:

- معیار مقاومت؛
- معیار سختی؛
- معیار جذب انرژی.

#### ۴. نتایج مطالعات پارامتریک اجزاء محدود

در این پژوهش دو پارامتر بی بعد  $\beta = d/t_w$  و  $\alpha = tg^{-1}(s/d)$  در نظر گرفته شده‌اند. پارامتر  $\beta$  نسبت عمق به ضخامت جان تیر را بیان می‌کند و زاویه‌ی سخت‌کننده‌ی قطری را نسبت به افق در نظر می‌گیرد. در جدول ۱، مدل‌های تحلیل شده در این مطالعه با توجه به مقادیر استفاده شده برای  $\alpha$  و  $\beta$  معرفی شده‌اند. همچنین برای هر حالت  $\beta$ ی شرح داده شده‌ی فوق، نتایج مربوط به سازه‌ی دارای تیر همبند با سخت‌کننده‌ی قائم هم ارائه شده است (ستون سوم جدول ۱).

نحوه‌ی نام‌گذاری نمونه‌ها به این ترتیب بوده است که جمله‌ی اول، زاویه‌ی قطری و جمله‌ی دوم، نسبت عمق به ضخامت جان تیر در آن نمونه را بیان می‌کند. برای مثال، نمونه‌ی a<sup>۳۵</sup>,B<sup>۲۰</sup> یعنی نمونه‌ی دارای سخت‌کننده‌ی قطری با زاویه‌ی ۳۵ درجه نسبت به افق در تیر با نسبت عمق به ضخامت جان برابر با ۲۰°. نمونه‌ی

#### ۳. مدل‌های استفاده شده در مطالعات پارامتریک

کمانش در تیرهای همبند سبب کاهش سریع مقاومت و سختی می‌شود و به طور قابل توجهی، توانایی جذب انرژی را در سیستم کاهش می‌دهد. سخت‌کننده‌های جان می‌توانند استفاده شوند تا کمانش جان را به تأثیر بیندازند. ضوابط موجود در آینه‌نامه‌ها برای تعیین سخت‌کننده‌ها، بر پایه‌ی تحقیقات انجام‌گرفته توسط پوپوف و همکاران (۱۹۸۶) به دست آمده است.

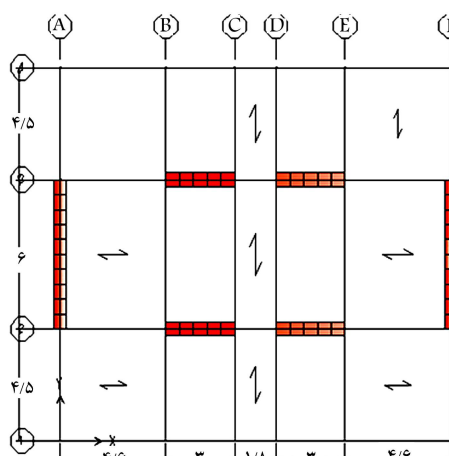
آنها در رسیدن به این هدف، آزمایش‌هایی را بر روی ۳ نمونه‌ی آزمایشگاهی گوناگون، براساس مقادیر مختلف دو پارامتر بی بعد «نسبت ارتفاع به ضخامت جان و نسبت فاصله‌ی سخت‌کننده‌ها به ارتفاع جان» انجام دادند.<sup>[۱۳]</sup>

در این بخش، یک مطالعه‌ی تحلیلی با استفاده از روش اجراء محدود در نرم افزار Abaqus (۶,۱۰) بر روی رفتار چند نمونه‌ی تیر همبند فولادی تحت بارگذاری چرخه‌ی انجام شده است.

این نمونه‌ها شامل تیر فولادی مرسوم که مطابق ضوابط فصل سوم مقررات ملی ساختمان در آنها سخت‌کننده‌ی قائم (استاندارد) تعیینه شده و نیز یک تیر همبند پیشنهادی، که در آنها از سخت‌کننده‌ی قطری استفاده شده است، می‌باشد. یادآور می‌شود در این پژوهش، مرکز بر روی تیرهای با رفتار برشی غالب است.

ضوابط تعیین سخت‌کننده‌ها برای تیرهای همبند فولادی دقیقاً مطابق ضوابط مربوط به تیرهای پیوند در قاب‌های مهاربندی واگرایی است. هدف از استفاده از سخت‌کننده‌ی قطری در این نوشتار، افزایش سختی و نیز مقاومت تیر همبند فولادی نسبت به تیر همبند مرسوم با سخت‌کننده‌ی قائم با تعداد کمتر سخت‌کننده بوده است. برای انجام این مهم، یک مطالعه‌ی پارامتریک برای یافتن زاویه‌ی بهینه‌ی سخت‌کننده برای حدود ۳۰ مدل با درنظرگرفتن دو پارامتر «نسبت ابعاد عمق به ضخامت جان و زاویه‌ی سخت‌کننده‌ی قطری» تحت بارگذاری چرخه‌ی صورت گرفته و همچنین نتایج با وضعیت متناظر در تیر همبند با سخت‌کننده‌ی قائم مقایسه شده است.

مدل مورد بررسی از تحلیل یک سازه‌ی ۱۲ طبقه با سیستم دیوار برشی همبسته‌ی مرکب، که براساس ضوابط مبحث ششم و استاندارد ۲۸۰۰ به روش استاتیکی معادل بارگذاری و بر مبنای ضوابط مبحث نهم و دهم طراحی شده است، انتخاب شده است. در شکل ۳، پلان سازه (که برای همه‌ی طبقات مشترک است) نشان داده شده است. قاب پیرامونی فولادی به طور مفصلی به قاب‌های دیگر مرتبط می‌شود و در نتیجه، نقشه‌ی در باربری لزه‌ی ایفا نمی‌کند.



شکل ۳. پلان سازه‌ی استفاده شده در این پژوهش.

جدول ۱. معرفی مدل‌های استفاده شده در مطالعه‌ی پارامتریک.

$\beta = \frac{d}{t_w}$	$\alpha = \tan^{-1}(\frac{s}{d})$					نمونه‌ی استاندارد
۳۰	a ۲۵,B ۳۰	a ۳۰,B ۳۰	a ۳۵,B ۳۰	a ۴۰,B ۳۰	a ۴۵,B ۳۰	SS ۳۰
۲۵	a ۲۵,B ۳۵	a ۳۰,B ۳۵	a ۳۵,B ۳۵	a ۴۰,B ۳۵	a ۴۵,B ۳۵	SS ۳۵
۴۰	a ۲۵,B ۴۰	a ۳۰,B ۴۰	a ۳۵,B ۴۰	a ۴۰,B ۴۰	a ۴۵,B ۴۰	SS ۴۰
۵۰	a ۲۵,B ۵۰	a ۳۰,B ۵۰	a ۳۵,B ۵۰	a ۴۰,B ۵۰	a ۴۵,B ۵۰	SS ۵۰

جدول ۲. مقایسه‌ی نتایج نمونه‌های DS و SS.

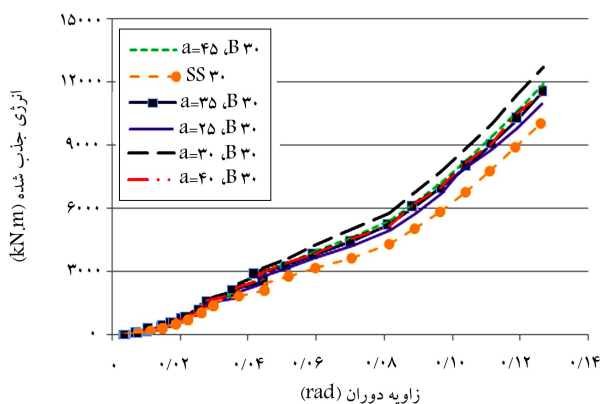
DS	SS	
۱۸۲۹	۱۴۳۲	مقاومت برشی (کیلونیوتون)
۱۴/۱	۱۲/۹	زاویه دوران (%)
۲/۲	۱/۷	نسبت برش تحلیلی به برش محاسباتی (آین نامه)

از روش مرجع<sup>[۱۶]</sup> استفاده شده است. بر این اساس ظرفیت دورانی خمیری تیر همبند به نقطه‌ی گفته می‌شود که مقاومت برشی به ۸۰٪ مقاومت بیشینه‌ی سیستم، کاهش یافته باشد. با این تعریف، نمونه‌ی SS دارای ظرفیت دورانی ۱۲/۹٪ رادیان و نمونه‌ی DS دارای ظرفیت دورانی بیش از ۱۴/۱٪ خواهد بود. یادآور می‌شود که حد اعمال بارگذاری چرخه‌ی برش نمونه‌های مورد بحث در این نوشتار، رسیدن به ظرفیت دورانی پیش‌بینی شده براساس تعریف فوق است.

مقدار پیشنهادی آین نامه برای ظرفیت دورانی تیرهای با رفتار برشی غالب، ۸ رادیان است. نتایج بدست آمده نشان می‌دهد که ظرفیت دورانی پیش‌بینی شده توسط آین نامه، مقدار محافظه‌کارانه‌ی را نتیجه می‌دهد. البته در این مطالعه رفتار جوش‌ها و امکان گسیختگی برای نمونه مدل نشده است.

## ۲.۴. توزیع انرژی جذب شده توسط تغییر شکل خمیری در تیرهای همبند

در شکل ۴، نمودار توزیع انرژی جذب شده توسط تغییر شکل‌های خمیری تیر همبند را در نمونه‌های مختلف برای حالت  $\beta = ۳۰$  مشاهده می‌کنید. با وجود نزدیکی رفتار نمونه‌ها در مراحل آغازین، در ادامه‌ی بارگذاری، میزان جذب انرژی بسته به وضعیت سخت‌کننده متفاوت می‌شود. میزان انرژی جذب شده توسط نمونه با قطری ۳۰ درجه در انتهای تحلیل حدود ۳۵٪ بیش از نمونه دارای سخت‌کننده استاندارد است.


 شکل ۶. توزیع انرژی جذب شده در تیر همبند در نمونه‌های با  $\beta = ۳۰$ .

SS ۳۰ یعنی تیر با سخت‌کننده استاندارد با نسبت عمق به ضخامت جان برابر با ۳۰. همچنین مدل‌های دیگری برای  $\beta = ۵۰$  آورده شده است که در بخش ۵ به تفصیل در مورد آن‌ها صحبت خواهد شد. جزئیات مدل‌های تحت تحقیق بررسی در این پژوهش در مرجع<sup>[۱۵]</sup> آورده شده است.

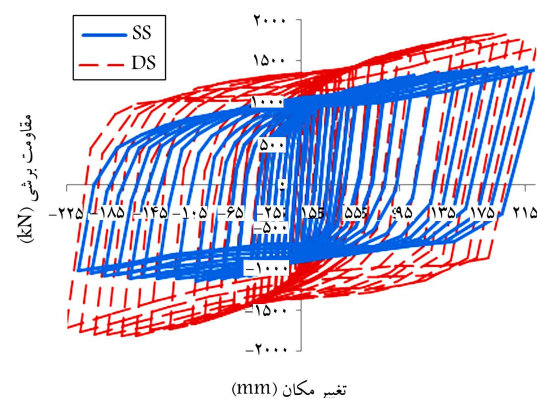
با توجه به نبود ضابطه‌ی طراحی برای سخت‌کننده‌ی قطری در آین نامه‌ها، ضخامت آن‌ها در این پژوهش، ۱۰ mm (کمیته‌ی ضخامت مجاز آین نامه برای سخت‌کننده استاندارد) در نظر گرفته شده است. ضخامت نمونه‌های دارای سخت‌کننده استاندارد طبق آین نامه از رابطه‌ی ۱ محاسبه می‌شود:

$$t_{ws} = \max(10 \text{ mm}, 0, 75t_w) = 10,5 \text{ mm} \quad (1)$$

## ۱.۴. پاسخ چرخه‌ی نیرو - تغییر مکان مدل‌ها

در شکل ۵، پاسخ چرخه‌ی نیروی برحسب نیروی برشی - SS ۳۵ a ۳۰, B ۳۰ و SS ۳۰ a ۳۰, B ۳۵ - تغییر مکان برشی در انتهای تیر در محل اتصال به دوار ترسیم شده است. همان‌طور که مشاهده می‌شود، نصب سخت‌کننده‌ی قطری توانایی سازه را در جذب انرژی افزایش می‌دهد. همچنین ظرفیت برشی تیر با سخت‌کننده‌ی قطری نیز در این حالت بهبود می‌یابد. در هر دو نمودار رفتار پایداری برای سازه در چرخه‌های مختلف بارگذاری دیده می‌شود بدون کاهش قابل توجه در سختی و مقاومت که مزیت به کارگیری تیرهای فولادی را نشان می‌دهد.

در جدول ۲، ظرفیت تحلیلی (بدست آمده از تحلیل مدل در آباکوس) به همراه زاویه‌ی برشی متناظر ایجاد شده در تیر همبند و نیز نسبت ظرفیت تحلیلی به ظرفیت محاسبه شده براساس روابط آین نامه اورده شده است. از مقادیر جدول معلوم می‌شود، مدل با سخت‌کننده‌ی قطری (DS) ظرفیت برشی بیشتری نسبت به مدل با سخت‌کننده استاندارد (SS) دارد و حدود ۲۸٪ برش بیشتر تحمل می‌کند. برای تعیین میزان زاویه‌ی چرخش خمیری قابل تحمل در تیر همبند در این مطالعه



شکل ۵. منحنی هیسترزیس نمونه‌های DS و SS.

جدول ۴. مقادیر مقاومت برشی در نمونه های مختلف.

$\alpha$						$\beta$
۴۵	۴۰	۳۵	۳۰	۲۵		
۱,۰۷	۱,۰۷	۱,۱۱	۱,۱۳	۱,۱۲	۳۰	
۱,۲۷	۱,۲۷	۱,۲۵	۱,۲۷	۱,۲۴	۳۵	
۱,۰۴	۱,۰۴	۱,۱۳	۱,۱۳	۱,۱۱	۴۰	

جدول ۳. مقادیر عددی انرژی جذب شده.

$\alpha$						$\beta$
۴۵	۴۰	۳۵	۳۰	۲۵		
۱,۲۶	۱,۰۱	۱,۱۳	۱,۳۵	۱,۱۵	۳۰	
۰,۸۹	۰,۹۳	۱,۱۱	۱,۰۶	۰,۸۹	۳۵	
۰,۹۶	۰,۸۸	۰,۸۹	۱,۰۵	۰,۸۲	۴۰	

#### ۴.۶. مشخصات سختی در چرخه های مختلف

این سیستم مشابه یک سیستم طره عمل می کند. لذا سختی کشسان توری برای سیستم مورد بحث،  $K_e$ ، از رابطه ۲ بدست می آید که در آن ممان اینرسی معادل تیر همبند برای درنظرگرفتن اثر تغییر شکل های برشی است و از رابطه ۳ بدست می آید:

$$K_e = \frac{3EI_{eq}}{l^2} \quad (2)$$

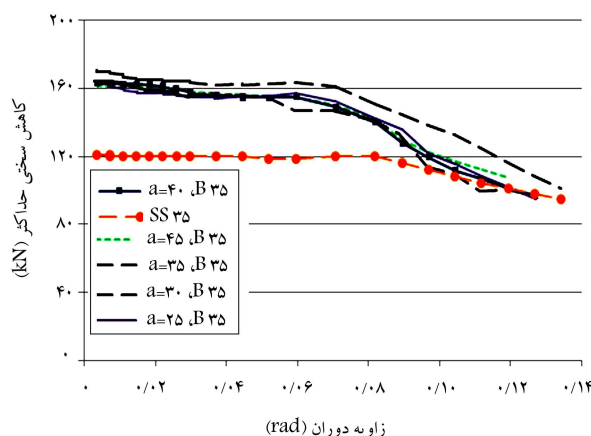
$$I_{eq} = \frac{I_b}{1 + \frac{\tau EI_b}{\tau GA} \lambda} \quad (3)$$

λ در این رابطه، ضریب شکل مقطع عرضی برابر با نسبت اساس مقطع خمیری عضو به اساس مقطع کشسان آن است که برای تیر همبند با ابعاد مورد نظر برابر است با ۱,۱۲. نهایتاً با توجه به رابطه های ۲ و ۳، سختی توری محاسبه می شود، مثلاً برای  $\beta = ۳۵$  خواهیم داشت:  $K_e = ۱۴۴ \frac{kN}{mm}$ . [۱۵]

در جدول ۵، برای نسبت عمق به ضخامت موردنظر، نتایج مربوط به نمونه های استاندارد و قطری ۳۰ درجه آورده شده است. از مقایسه ای مقادیر سختی توری از رابطه ۲ و نیز مقادیر جدول ۵ می توان نتیجه گرفت که سخت کننده قائم تأثیر چندانی در سختی کل سیستم ندارد و بیشتر نقش پایداری را برای تیر ایفا می کند. اما سخت کننده قطری علاوه بر پایداری، در افزایش سختی سیستم نیز مؤثر است. در شکل ۸، تغییرات سختی بیشینه در چرخه های متناوب بارگذاری برای نمونه ها

جدول ۵. سختی اولیه در نمونه ها (برای  $\beta = ۳۵$ ).

DS	SS	
۱۶۵,۳	۱۴۹	(kN/mm)
سختی تحلیلی ابتدایی		
۱,۱۹	۱,۰۳	نسبت سختی تحلیلی به توری

شکل ۸. توزیع سختی در نمونه ها ( $\beta = ۳۵$ ).

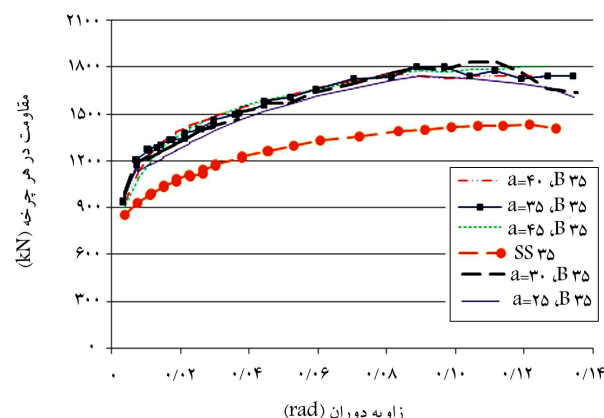
در میان نمونه های قطری، نمونه دارای سخت کننده قطری با زاویه ۳۰ درجه میزان جذب انرژی بیشتری دارد. در جدول ۳، مقادیر عددی انرژی جذب شده در انتهای تحلیل برای نمونه های مختلف آورده شده است. اعداد جدول به مقادیر متناظر در نمونه استاندارد مقایسه شده اند.

یادآوری می شود که در همه مدل های این بخش، فقط از دو عدد سخت کننده قطری در هر طرف استفاده شده است. همان طور که از مقادیر جدول مشخص است با افزایش نسبت عمق به ضخامت جان میزان انرژی جذب شده در نمونه های قطری کاهش و در نمونه های استاندارد افزایش می باید. علت این پدیده را می توان به وقوع کمانش بیشتر و شدیدتر در نمونه های با نسبت عمق به ضخامت بالا ارتباط داد. در این مورد، در بخش ۵ به طور مفصل صحبت خواهد شد. در میان نمونه های با سخت کننده قطری مدل دارای قطری ۳۰ درجه در همه نسبت ها بیشترین جذب انرژی را دارد.

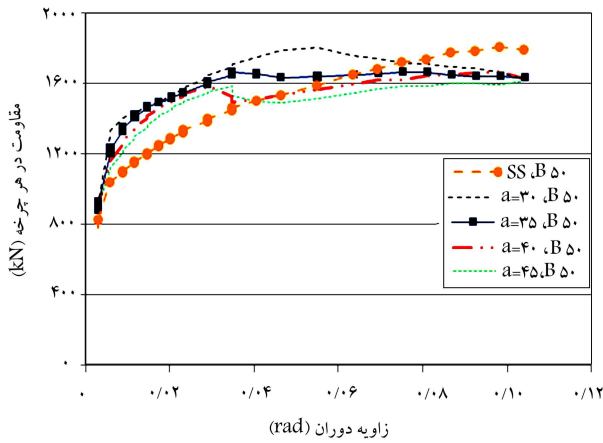
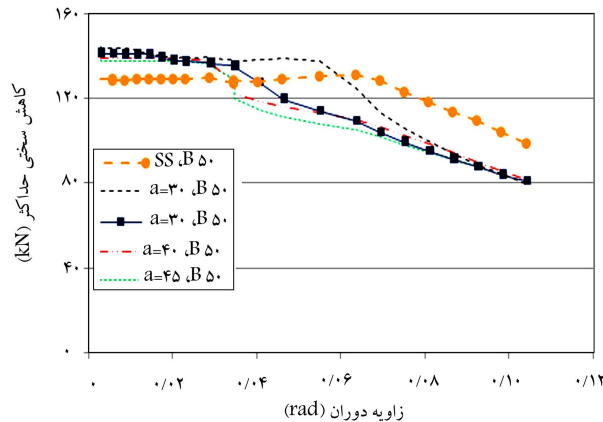
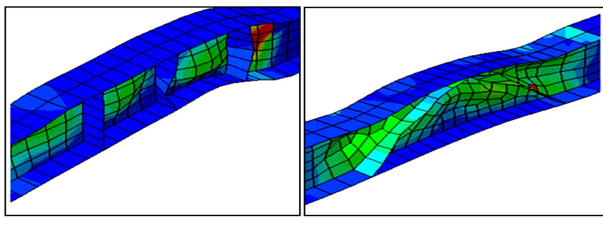
#### ۴.۷. تغییرات مقاومت برشی نمونه ها در چرخه های مختلف

در شکل ۷، نمودار تغییرات مقاومت برشی بر حسب زاویه چرخش در سازه برای حالت  $\beta = ۳۵$  نشان داده شده است. در این شکل، رفتار نزدیکی بین نمونه های قطری دیده می شود. در مقایسه با نمونه های استاندارد کفایت نمونه های با سخت کننده قطری آشکار است. برای مثال، در زاویه دوران  $0,8$  رادیان، نمونه با قطری ۳۰ درجه حدود ۲۶٪ ظرفیت برشی بیشتری نسبت به نمونه استاندارد دارد. با افزایش نسبت عمق به ضخامت، پدیده کمانش رخ می دهد که در بخش ۵ به تفصیل در مورد آن صحبت خواهد شد.

در جدول ۴، مقدار مقاومت برشی در نمونه های مختلف دیده می شود. اعداد جدول به مقادیر متناظر در نمونه استاندارد نرمал شده اند. باز هم وضعیت بهتر در نمونه دارای قطری ۳۰ درجه، نسبت به سایر نمونه ها حاکی از بهینه بودن عملکرد سازه بی مدل در این زاویه است. وضعیت بهتر نسبت به نمونه استاندارد هم مشهود است.



شکل ۷. توزیع مقاومت برشی بر حسب زاویه رادیان.

شکل ۹. تغییرات مقاومت برشی ( $\beta = 50^\circ$ ).شکل ۱۰. تغییرات سختی برای نمونه ( $\beta = 50^\circ$ ).

شکل ۱۱. نمایش وضعیت پس از کمانش در تیر همبند.

مربوط به سختکننده‌های قائم تعیین کرده است. طبق ضوابط آینه نامه برای تیرهای با رفتار برشی غالب، برای رسیدن به زاویه دوران  $50^\circ$  رادیان، فاصله‌ی  $(52tw-d)/5$  و برای زاویه‌ی  $20^\circ$  رادیان، فاصله‌ی  $(30tw-d)/5$  می‌شود. در شکل ۱۲، این وضعیت جدید برای تیر همبند نشان داده شده است. در شکل ۱۳، نمودار مقاومت برشی مربوط به نمونه‌ی استاندارد هم در این هر طرف دیده می‌شود. جهت مقایسه، نتایج مربوط به نمونه‌ی استاندارد هم در این شکل آورده شده است. همان‌طورکه مشاهده می‌شود، با افزایش تعداد سختکننده در شرکت برشی نمونه افزایش می‌یابد و نیز برای نسبت‌های عمق به ضخامت جان بالا ( $\beta = 50^\circ$ ) سیستم دارای تیر همبند با سختکننده‌ی قطری مجدد رفتار بهتری نسبت به سیستم با سختکننده‌ی قائم نشان می‌دهد. بدینهی است با افزایش تعداد سختکننده‌ها، طول آزاد تیر همبند (طولی که بین دو سختکننده قرار می‌گیرد) کوتاه‌تر است و کمانش کمتری رخ می‌دهد و لذا افت مقاومت حتی در زاویه دوران‌های

جدول ۶. مقادیر سختی اولیه برای نمونه‌ها.

$\alpha$	۴۵	۴۰	۳۵	۳۰	۲۵	$\beta$
۱/۱۵	۱/۱۶	۱/۱۹	۱/۲۱	۱/۰۷	۳۰	
۱/۰۸	۱/۰۹	۱/۱۰	۱/۱۱	۱/۱۰	۳۵	
۱/۰۹	۱/۱۳	۱/۱۲	۱/۱۵	۱/۱۶	۴۰	

در وضعیت  $\beta = 35^\circ$  دیده می‌شود. نمونه‌های با سختکننده‌ی قطری، سختی ابتدایی بالاتری نسبت به نمونه‌ی SS دارند. در چرخه‌های انتهایی، افت سختی در تمام نمونه‌های قطری شبیه بیشتری نسبت به نمونه‌های استاندارد نشان می‌دهد. دلیل این امر را می‌توان به کمانش بیشتر در نمونه‌های قطری در اتهای بارگذاری نسبت داد. همچنین به دلیل کمانش کمتر در نمونه‌های  $30^\circ$  درجه، این نمونه وضعیت بهتری نسبت به سایر زوایای سختکننده دارد. در جدول ۶، مقادیر سختی اولیه در نمونه‌ها مشاهده می‌شود.

اعداد جدول به مقادیر متناظر در نمونه‌ی استاندارد مقیاس شده‌اند. با توجه به مقادیر جدول در میان همه نمونه‌ها، نمونه با قطری  $30^\circ$  درجه بیشترین اولیه را داراست، خصوصاً در  $\beta$ های بالا.

چنانکه مشاهده می‌شود در همه حالات، نمونه با قطری  $30^\circ$  درجه بیشترین جذب ارزی، مقاومت برشی و سختی را در بین سایر نمونه‌های قطری داراست ولذا این زاویه، به عنوان زاویه‌ی بهینه انتخاب می‌شود. پس نتایج حاصل از این بخش، یک تیر همبند با سختکننده‌ی قطری با یک زاویه در محدوده  $30^\circ$  درجه را پیشنهاد می‌کند.

## ۵. وضعیت نمونه‌ها با افزایش نسبت سختی عمق به جان

تعداد سختکننده‌های عرضی براساس طول تیر همبند و همچنین فاصله‌ی آن‌ها، که براساس میزان دوران پیش‌بینی شده و عمق تیر به دست می‌آید، تعیین می‌شود. با توجه به اینکه هنوز ضوابطی در آینه نامه در مورد تعداد سختکننده‌ی قطری وجود ندارد، لذا در این مطالعه فقط از دو عدد سختکننده‌ی قطری در هر طرف استفاده شده است. در نتیجه، با افزایش نسبت عمق به ضخامت جان، طول بیشتری از جان تیر در فضای بدون سختکننده قرار می‌گیرد و در نتیجه احتمال کمانش افزایش می‌یابد. برای مثال، به نمودارهای به دست آمده از نمونه‌های مختلف برای  $\beta = 50^\circ$  برای ظرفیت برشی و سختی مدل‌ها در شکل‌های ۹ و ۱۰ توجه کنید.

با توجه به این شکل‌ها می‌توان گفت زمانی که فقط از دو سختکننده‌ی قطری در هر طرف استفاده می‌شود، برای نمونه‌های با زاویه‌ی بزرگ‌تر طول بیشتری از تیر در فضای بدون سختکننده قرار می‌گیرد، در نتیجه با افزایش میزان بار نمونه‌های قطری کاهش سختی و مقاومت بیشتری نسبت به نمونه‌های استاندارد دارد، که مسئله را می‌توان به کمانش سریع‌تر و بیشتر در این نمونه‌ها ارتیاط داد. همچنین با افزایش زاویه‌ی قطری، فضای بیشتری از جان تیر بدون سختکننده خواهد بود ولذا در زاویه‌ی  $30^\circ$  درجه، کمانش کمتری نسبت به تیرهای با زوایای دیگر سختکننده رخ می‌دهد. لذا، در میان نمونه‌های با سختکننده‌ی قطری، بیشترین افت برای نمونه با قطری  $a = 45^\circ$  در شکل ۱۱، نمایی از کمانش اتفاق افتاده در جان تیر همبند در دو حالت، با سختکننده‌ی قطری و قائم مشاهده می‌شود.

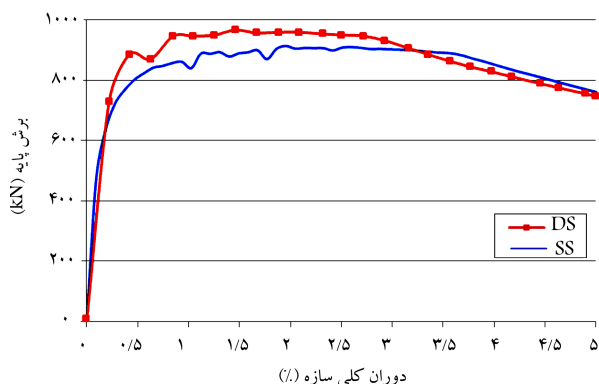
برای حل این مشکل در تیرهای با نسبت عمق به ضخامت بالا از  $4^\circ$  سختکننده‌ی قطری در هر طرف استفاده شده است. فاصله‌ی بین قطری‌های از همان ضوابط

تفاوت رفتار نمونه با قطری  $45^\circ$  درجه (a $\text{45-4stif}$ ) و بهبود وضعیت سختی نسبت به نمونه‌ی متناظر با  $2^\circ$  سخت‌کننده در هر طرف، (شکل ۱۰ نمونه‌ی a $\text{45,B50}$ ) در شکل ۱۴ واضح است. افت سختی در این نمونه از زاویه‌ی دوران  $7\%$  شروع شده است، در حالی که در شکل ۱۰، از مقدار  $3\%$  رادیان افت شدید مشاهده می‌شود.

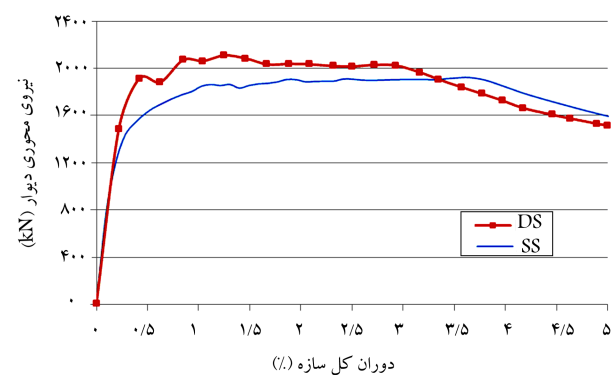
## ۶. مقایسه‌ی عملکرد سازه‌ی ۶ طبقه با تیرهای همبند با سخت‌کننده‌ی استاندارد و قطری

در این بخش نتایج یک بررسی تحلیلی روی رفتار یک سازه‌ی ۶ طبقه که تحت بارگذاری یکنواخت جانبی قرار گرفته است، برای دو حالت ارائه می‌شود. در یک حالت از تیرهای همبند فولادی با سخت‌کننده‌ی استاندارد و در حالت دیگر از تیرهای همبند فولادی با سخت‌کننده‌ی قطری در سرتاسر ارتفاع سازه استفاده شده است. بارگذاری به صورت یکنواخت از نوع کنتل تغییرمکان بوده است که به بام سازه اعمال می‌شود. در همه‌ی نمودارها DS بیانگر سازه با تیر همبند دارای سخت‌کننده‌ی قطری است و SS بیانگر سازه با تیر دارای سخت‌کننده‌ی استاندارد را نشان می‌دهد. در شکل ۱۵، نمودار تغییرات برش پایه بر حسب دوران کل سازه نشان داده شده است. تا زمانی که سازه در مرحله ارتجاعی قرار دارد، رفتار دو سازه یکسان است؛ اما با افزایش تغییرمکان جانبی، سازه‌ی دارای تیر همبند با سخت‌کننده‌ی قطری، دارای مقاومت بیشتری از سازه‌ی SS است و در انتهای بارگذاری نیز (پس از افت) مجدداً رفتار مشابهی برای دو سازه دیده می‌شود. به هر حال در مجموع تفاوت چندانی بین رفتار دو سازه دیده نمی‌شود.

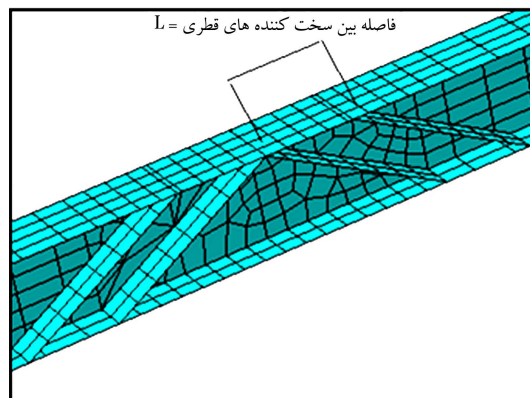
در شکل ۱۶، نمودار تغییرات نیروی محوری به وجود آمده در دیوار طبقه‌ی اول



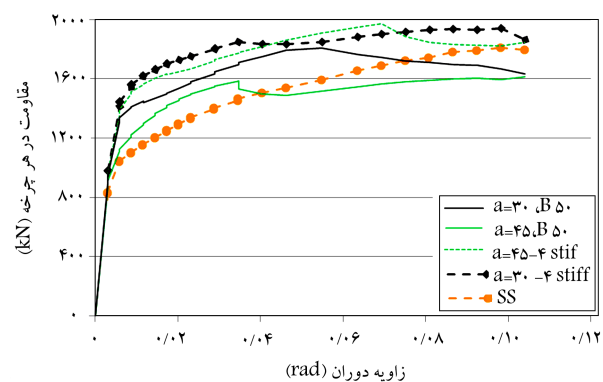
شکل ۱۵. مقایسه‌ی برش پایه‌ی سازه‌های DS و SS.



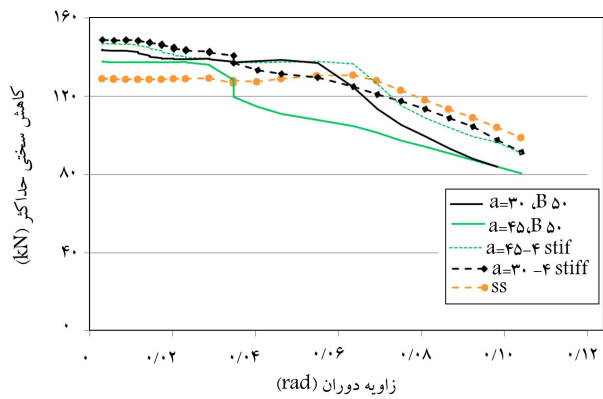
شکل ۱۶. نمودار نیروی محوری در دو سازه‌ی دارای DS و SS.



شکل ۱۲. نمونه‌ی قطری با  $4^\circ$  سخت‌کننده در هر طرف.



شکل ۱۳. توزیع مقاومت برای نمونه‌های استاندارد و قطری با  $4^\circ$  سخت‌کننده.



شکل ۱۴. توزیع سختی برای تیرهای با  $4^\circ$  سخت‌کننده‌ی قطری.

بالا نیز کم می‌شود، برخلاف آنچه که در نمونه‌های با فقط دو عدد سخت‌کننده‌ی قطری مطابق شکل ۹ (مثلاً نمونه‌ی a $\text{45,B50}$ ) مشاهده شد. خصوصاً کفایت مدل با سخت‌کننده‌ی قطری با زاویه‌ی  $45^\circ$  درجه (a $\text{45-4stif}$ ) نسبت به مدل با قطری  $45^\circ$  درجه (a $\text{45-4stif}$ ) که در زاویه‌ی دوران  $6^\circ$  افت مقاومت آن شروع می‌شود، در این شکل آشکار است.

در شکل ۱۴، توزیع سختی در نمونه‌های دارای  $4^\circ$  سخت‌کننده‌ی قطری نشان داده شده است. همان‌طور که مشاهده می‌شود، افزایش سخت‌کننده‌ها رفتار بهتری را خصوصاً برای نمونه با سخت‌کننده‌ی قطری با زاویه‌ی  $45^\circ$  درجه موجب می‌شود. در این حالت، شبکه کاهش سختی در نمونه‌ها تقریباً یکسان است.

سخت شدگی کرنشی در برش باشد (رابطه های ۵ و ۶):

$$\phi_b M_n = \left( \frac{L_b}{2} + c \right) V_p \quad (5)$$

$$M_n = F_y \times Z_{req} \quad (6)$$

که در این رابطه ها،  $V_p$  بیشینه‌ی ظرفیت برشی جان (با درنظر گرفتن پدیده‌ی سخت شدگی اکه مقدار آن بر اساس توصیه‌ی مرجع<sup>[۸]</sup> برابر است با:  $V_p = 1,25V_n = 1,25M_n$ ) همچنین  $\phi_b = ۰,۹$  مطابق توصیه‌ی مبحث دهم. لازم به توضیح است در انتخاب مقاطعی که ظرفیت لنگر مورد نیاز را می‌دهد، سهم جان باید نادیده گرفته شود؛ چون فرض بر این است که جان در برش تسليم خواهد شد و لذا باربری خمشی چندانی نخواهد داشت.

گام سوم: کنترل ضوابط مربوط به کمانش بال و جان (رابطه‌ی ۷):

$$\frac{b_f}{t_f} \leq ۰,۳\sqrt{\frac{E}{F_y}} \quad (7)$$

$$\frac{h_w}{t_w} \leq ۲,۴۵\sqrt{\frac{E}{F_y}}$$

گام چهارم: کنترل رفتار تیر برای اطمینان از اینکه به صورت برشی رفتار می‌کند. براین اساس باید داشته باشیم (رابطه‌ی ۸):

$$L \leq ۱,۶ \frac{M_p}{V_p} \quad (8)$$

گام پنجم: تعیین سخت‌کننده‌های مورد نیاز  
ابتدا پارامتر بی بعد  $\beta$  را تعیین می‌کنیم:  $d/t_w = \beta$ , اگر  $\beta < ۰,۴$ , از دو سخت‌کننده‌ی قطری با زاویه‌ی  $۳۰^\circ$  درجه و در غیر این صورت از ۴ سخت‌کننده‌ی قطری با زاویه‌ی  $۳۰^\circ$  درجه نسبت به افق استفاده می‌کنیم. ضخامت سخت‌کننده از رابطه‌ی ۱ به دست می‌آید.

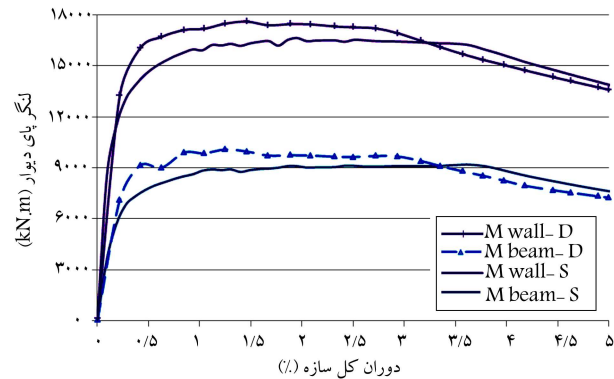
گام ششم: تعیین طول مدفعون موردنیاز طوری که مقاومت برشی ضریب خورده‌ی ناحیه‌ی مدفعون  $\phi_v$ ، بزرگ‌تر از ظرفیت برشی تیر همبند،  $V_p$ ، شود. مقدار طول مدفعون تیر داخل دیوار مطابق رابطه‌ی ۹ به دست می‌آید:

$$V_p = \frac{۰,۸۵ f'_c b_{rff} L_e}{1 + \frac{۰,۶e}{L_e}} \quad (9)$$

که در آن،  $L_e$  طول مدفعون تیر  $c = \frac{L}{2} + \frac{L_e}{2}$  و  $d, e = \frac{L}{2} + \frac{L_e}{2}$  عمق تیر همبند،  $h_w$  ارتفاع جان تیر (بین دو بال)،  $t_f$  ضخامت بال،  $t_w$  ضخامت جان تیر،  $b$  عرض بال تیر،  $e$  پوشش بتن و  $L$  طول آزاد تیر همبند.

## ۷. نتیجه‌گیری

در این نوشتار، یک مطالعه‌ی پارامتریک اجزاء محدود برای تیرهای همبند فولادی با رفتار برشی حاکم با درنظر گرفتن حدود  $۳۰^\circ$  مدل مختلف انجام شد تا امکان استفاده از سخت‌کننده‌ی قطری را در تیرهای همبند فولادی به جای سخت‌کننده‌ی استاندارد (مطابق با ضوابط آینه‌نامه) بررسی کند. دو پارامتر بی بعد «نسبت عمق به ضخامت جان و زاویه‌ی سخت‌کننده‌ی قطری با راستای افق» انتخاب شد تا بهترین وضعیت هندسی برای سخت‌کننده‌ها به دست آید. در انتهای نوشتار، هم مراحل گام به گام



شکل ۱۷. نمودار لنگر مقاوم سازه‌های DS و SS.

برحسب دوران کل سازه نشان داده شده است. رفتار مشابهی در ابتدای بارگذاری دیده می‌شود، اما رفتارهای با افزایش جابجایی جانبی، سازه‌ی دارای سخت‌کننده‌ی قطری نیروی محوری بیشتری می‌تواند تحمل شده تیرهای همبند نزدیکی وجود دارد، اما سازه با سخت‌کننده‌ی استاندارد رفتار مناسب‌تری از خود نشان می‌دهد.

در شکل ۱۷، لنگرهای خمشی دیوارها در تراز پایه بر حسب دوران کل نشان داده شده است. همچنین در این شکل، سهم لنگر تحمل شده توسط تیرهای همبند ناشی از عمل کوپلینگ نیز آورده شده است (Mbeam). از این شکل مشخص می‌شود که تیرهای همبند نقش زیادی در باربری جانبی سازه بازی می‌کنند. روند مشابه آنچه که در شکل‌های ۱۵ و ۱۶ توضیح داده شد، در این نمودار

(شکل ۱۷) نیز دیده می‌شود. در ابتدا، دو سازه مشابه یکدیگر عمل می‌کنند: اما در ادامه، بارگذاری سازه‌ی SS مقاومت خمشی بیشتری از خود نشان می‌دهد. همان‌طور که مشاهده می‌شود، کاهش مقاومت در سازه‌ی DS دیرتر از سازه‌ی SS رخ می‌دهد، اگرچه تفاوت چندانی بین دو سازه دیده نمی‌شود. اختلاف بین دو نمودار (سهم لنگر تیر همبند و لنگر کل) لنگر تحمل شده توسط عمل خمشی دیوارها را بیان می‌کند. مشاهده می‌شود که بیش از نیمی از لنگر در هر دو حالت توسط تیر همبند تحمل می‌شود؛ که این مطلب به طور کلی کفایت سیستم‌های همبسته را در مقابل سیستم‌های غیره‌همبسته، که لنگر ناشی از نیروی جانبی به طور کامل توسط دیوارها تحمل می‌شود، می‌رساند.

همان‌طور که مشاهده می‌شود، اگرچه سازه دارای سخت‌کننده‌ی قطری، عملکرد بهتری در ابتدای بارگذاری در کلیه‌ی حالات از خود نشان می‌دهد، اما به هر حال مقاومت چشمگیری بین دو سازه وجود ندارد. برای مقایسه‌ی بهتر نیاز به بررسی سازه‌های با تعداد طبقات بیشتر احساس می‌شود، که در این نوشتار به آن پرداخته نشده است.

در انتهای مراحل طراحی تیر همبند فولادی با سخت‌کننده‌ی قطری براساس نتایج به دست آمده از این نوشتار، به صورت گام به گام برای استفاده‌ی مهندسان طراح ارائه شده است:

گام اول: تعیین ابعاد جان برای مقاومت در برابر برش مورد نیاز ( $V_u$ ) (رابطه‌ی ۴):

$$V_u \leq \phi_v V_n = \phi_v \times ۰,۶ h_w t_w F_y C_v \quad (4)$$

که در این رابطه، ضریب  $C_v$  نسبت نتش کمانشی جان به نتش تسليم برشی فولاد جان است.

گام دوم: تعیین لنگر مقاوم موردنیاز که باید بزرگ‌تر یا مساوی لنگر متناظر با توسعه‌ی

- برای حل این مشکل از تعداد بیشتری سختکننده‌ی قطری برای وضعیت  $B=50$  استفاده شده است (۴ سختکننده در هر طرف)، فاصله‌ی بین سختکننده‌ها از همان ضوابط مربوط به سختکننده‌ی قائم تعیین شد. تحلیل‌های چرخه‌یی انجام‌گرفته مجدداً رفتار بهتری از نمونه‌ی دارای تیر همبند با سختکننده‌ی قطری نسبت به تیر با سختکننده‌ی استاندارد، الیه این بار با ۴ قطری، در هر طرف رانشان می‌داد. نتایج همچنین نشان داد که افزایش تعداد قطری‌های تأثیر چندانی روی سختی سیستم نداشته است، اما ظرفیت بشی سیستم در این حالت بیشتر شد.
  - همچنین رفتار تیرهای همبند با سختکننده‌ی قطری برای ۵ زاویه‌ی ۲۵، ۳۰، ۳۵ و ۴۰ درجه نسبت به افق بررسی شد. رفتار نمونه‌ها در چرخه‌های مختلف حاکی از عملکرد بهتر نمونه‌های با قطری ۳۰ درجه برحسب سختی، ظرفیت بشی و جذب انرژی بود. لذا زاویه‌ی بهینه‌ی به دست آمده در این پژوهش برای رسیدن به بهترین عملکرد در سازه‌های همبسته مرکب با تیر همبند دارای سختکننده‌ی قطری، مقداری حدود ۳۰ درجه دارد.
- طرایی تیر به همراه یافتن جزئیات بهینه‌ی سختکننده‌ی قطری ارائه شده است. مهم‌ترین نتایج مطالعه‌ی پارامتریک انجام‌گرفته به این شرح است:
- نصب سختکننده‌ی قطری، عملکرد تیر را در محدوده‌ی دوران‌های مورد انتظار آین نامه از نظر ظرفیت بشی و سختی اولیه و نیز جذب انرژی بهینه‌ی پخششی در حالی که سختکننده‌ی قائم اثری روی سختی سیستم نداشته است و بیشتر نقش پایداری را در تیر ایفا می‌کند.
  - با توجه به اینکه ابتدا فقط از دو سختکننده‌ی قطری در تمام نمونه‌ها استفاده شده است، با افزایش نسبت عمق به ضخامت تیر معلوم شد که به دلیل فضای آزاد به وجود آمده بیشترین دو سختکننده، کماش بشتری رخ می‌دهد و لذا با افزایش نسبت عمق به ضخامت (تا  $B=50$ ) در زاویه‌ی دوران‌های بزرگ (بیش از ۸٪) افت مقاومت و سختی در نمونه‌های قطری بیش از نمونه‌های با سختکننده‌ی استاندارد و نسبتاً شدید بود. بنابراین، استفاده از دو سختکننده‌ی قطری در هر طرف فقط تا نسبت عمق به ضخامت ( $B=40$ ) مؤثر است.

## پابلوشتها

1. hybrid coupled wall
2. damaged plasticity concrete
3. truss
4. shell
5. embedded element
6. host element

## منابع (References)

1. Fortney, P.J. "The next generation of coupling beams", PhD Dissertation, University of Cincinnati (2005).
2. Harries, K.A., Gong, B. and Shahrooz, B.M. "Behavior and design of reinforced concrete, steel and steel-concrete coupling beams", *Earthquake Spectra*, **16**(4), pp. 775-799 (2000).
3. El-Tawil, S., Harries, K., Fortney, P.J., Shahrooz, B.M. and Kurama, Y. "Seismic design of hybrid coupled wall systems: State of the art", *Structural Engineering*, **136**(7), pp. 755-769 (2010).
4. Fortney, P.J., Shahrooz, B.M. and Rassati, G.A. "Seismic performance evaluation of coupled core walls with concrete and steel coupling Beams", *Steel and Composite Structures*, **7**(4), pp. 279-301 (2007).
5. Harries, K.A. "Ductility and deformability of coupling beams in reinforced concrete coupled walls", *Earthquake Spectra*, **17**(3), pp. 457-478 (2001).
6. El-Tawil, S., Kuenzli, C. and Hassan, M. "Pushover of hybrid coupled walls.I: Design and modeling", *Structural Engineering*, **128**(10), pp. 1272-1281 (2002).
7. Gong, B. and Shahrooz, B.M. "Steel-concrete composite coupling beams-behavior and design", *Engineering Structures*, **23**(11), pp. 1480-1490 (2001).
8. Harries, K.A., Mitchell, D., Cook, W.D. and Redwood, R.G. "Seismic response of steel beams coupling concrete walls", *Structural Engineering*, **119**(12), pp. 3611-3629 (1993).
9. Fortney, P.J., Shahrooz, B.M. and Rassati, G.A. "Large-scale testing of a replaceable "Fuse" steel coupling beam", *Structural Engineering*, **133**(12), pp. 1801-1807 (2007).
10. Shen, Q. "Seismic analysis, behavior, and design of unbonded post-tensioned hybrid coupled wall structures", PhD Dissertation, University of Notre Dame (2006).
11. Yurisman, P., Budiono, B., Mustopo, M. and Suarjana, M. "Behavior of shear link of WF section with diagonal web stiffener of eccentrically braced frame (EBF) of steel structure", *ITBJ. Eng. Sci.*, **42**(2), pp. 103-128 (2010).
12. ABAQUS Analysis User's Manual, Version 6.10.1. (2010).
13. Kasai, K. and Popov, E. "Cyclic web buckling control for shear link beams", *Structural Engineering*, **112**(3), pp. 505-523 (1986).
14. ATC-24, *Guidelines for Seismic Testing of Components of Steel Structures*, Applied Technology Council (1992).
15. Omranian, E. "investigation of behavior of Steel coupling beams in concrete shear walls under cyclic loading", MSC Thesis, University of Tarbiat Modares, Iran (2012).
16. Richards, P.W. and Uang, C. "Effect of flange width-thickness ratio on eccentrically braced frames link cyclic rotation capacity", *Structural Engineering*, **131**(10), pp. 1546-1552 (2005).